

論 文

# ジルコントレーサによる造塊用耐火物起源介在物の成因に関する研究\*

永山 宏\*\*

Study on the Source of Oxide Inclusions Originated from Casting-Pit Refractories by Zircon Tracer

Hiroshi NAGAYAMA

## Synopsis:

In order to investigate the source of oxide inclusions originated from refractories of casting-pit in top-teeming ingots,  $\text{Al}_2\text{O}_3$ - $\text{SiO}_2$  refractory zircon (Containing 10% and 40% as  $\text{ZrO}_2$ ) were used as the bottom lining of trough and ladle, trough nozzle, and the lining of mould top.

The behaviors of oxide inclusions originated from refractories of casting-pit were studied by determining  $\text{ZrO}_2$  content in oxide inclusions extracted from steel specimens.

The following results are obtained.

(1) The entrapped quantity of the trough bottom brick into oxide inclusions was about 10% and the entrapped quantity into oxide inclusions was in the order of; trough bottom brick > ladle bottom brick > trough mortar > trough nozzle brick > trough ramming materials > castable refractories for mould top.

(2) Some comparisons were made between zircon tracer method and R. I. method in the investigation of the formation of oxide inclusions originated from refractories of casting-pit.

(Received Jan. 6, 1971)

## 1. 緒 言

鋼中酸化物系介在物の中には造塊用耐火物に起因すると思われるものが多く認められており、とくにトラフを使用する上注鋼塊の場合のように、造塊用耐火物に接触する時間の長いものにおいては耐火物の影響はきわめて大きく、トラフ底部耐火物あるいはその変質層の混入によると考えられる巨大介在物が多く認められている<sup>1,2)</sup>。これらの造塊用耐火物起源介在物の生成経路を追跡する方法としては、トレーサを使用することが一般に行なわれており、非放射性トレーサを使用した例も D. C. McCARTER ら<sup>3)</sup>, D. J. CARNEY ら<sup>4)</sup>, 和野ら<sup>5)</sup>をはじめ多くの報告があるが、トラフを使用する上注鋼塊の場合についてはほとんど報告が見当たらない。このため従来上注造塊用耐火物として常用してきた  $\text{Al}_2\text{O}_3$ - $\text{SiO}_2$  系耐火物に、一定量のジルコンサンドを添加して製造した耐火物を、まずトラフ敷煉瓦に使用し、つづいてトラフノズル、とりべ敷煉瓦、トラフ底部のラミング材および押湯部の不定形耐火物として順次使用し、これらの各場合について

て鋼塊中に酸化物系介在物として含まれている  $\text{ZrO}_2$  を定量することにより、耐火物起源介在物の挙動を調査した。これらの結果について述べる。

## 2. 実験方法

### 2.1 試料および試料採取方法

供試鋼塊としては 10 t 電弧炉溶製の高炭素クロム鋼をえらび、その造塊用耐火物について、まずトラフ敷煉瓦にセミジルコン質煉瓦 ( $\text{ZrO}_2$  40% 配合の  $\text{Al}_2\text{O}_3$ - $\text{SiO}_2$  系耐火物) を使用し、他の部位の耐火物は従来のままの材質 ( $\text{Al}_2\text{O}_3$ - $\text{SiO}_2$  系) のものを使用して造塊作業を行ない、鋼塊頂部および底部の一定個所より既報<sup>1)</sup>のように鋼試験片を採取した。つぎにとりべ敷煉瓦、トラフノズル煉瓦およびトラフ敷煉瓦の目地用モルタルをセミジルコン質耐火物として順次、同様にして造塊作業を行ない、それぞれ鋼試験片を採取した。さらにトラフ

\* 昭和45年10月本会講演大会にて発表

昭和46年1月6日受付

\*\* (株)日立製作所 勝田工場

敷煉瓦、トラフ底部のラミング材および押湯下端の不定形耐火物について、従来の材質のものに  $ZrO_2$  含有量が 10% になるようにジルコンサンドを添加した耐火物を使用し、同様にして鋼試験片を採取した。これらの供試溶解は通常の高炭素クロム鋼の溶解のなかから各場合について 5 チャージずつをえらんだ。なお供試鋼塊の採取は、トラフ敷煉瓦およびトラフラミング材については 5 回まで、とりべ敷煉瓦および押湯下端の不定形耐火物の場合には、それぞれ使用回数 10 回および 2 回までの時期に限定した。Table 1 に供試溶鋼の化学組成を示し、Table 2 および 3 にそれぞれ供試煉瓦の物理的性質および化学組成を示した。

## 2.2 実験方法

溶鋼中に供試  $ZrO_2$  含有耐火物が混入する度合を、従

来常用してきた  $Al_2O_3$ - $SiO_2$  系耐火物と比較検討するために、1400°C に 10 min 加熱後空冷をくり返す熱衝撃試験、るっぽ法および浸漬法によるスラグおよび溶鋼浸食試験を行なつた。さらに不定形耐火物については、サンドランマーによる成型試験片を 1000, 1200, 1400 および 1500°C に各 2 hr 焼成したのち、圧縮強さおよび膨張収縮率を測定し、それぞれ常用品と比較した。なお使用後の供試耐火物については、表層部のスラグ化部分を顕微鏡観察、X線回折および化学分析により調査した。鋼試験片中の酸化物系介在物については既報りのように EPMA 分析、顕微鏡観察、清浄度測定、X線回折および化学分析を行なつた。

Table 1. Chemical composition of test heats (%).

| C         | Si        | Mn        | P               | S               | Cu        | Ni        | Cr        | Mo        |
|-----------|-----------|-----------|-----------------|-----------------|-----------|-----------|-----------|-----------|
| 0.80~0.86 | 0.40~0.50 | 0.35~0.45 | 0.007<br>~0.012 | 0.007<br>~0.010 | 0.02~0.05 | 0.03~0.06 | 2.00~2.20 | 0.20~0.25 |

Table 2. Physical properties of test bricks.

|   | Refractoriness<br>(SK) | Bulk<br>Density | Porosity<br>(%) | Crushing strength<br>(kg/cm <sup>2</sup> ) | Shrinkage on reheat<br>1500°C × 2 hr (%) | Thermal conductivity<br>Kcal/mhr°C |
|---|------------------------|-----------------|-----------------|--|--|------------------------------------|
| Semi-Zircon brick<br>for the bottom lining<br>of ladle and trough | 28                     | 2.90            | 15.1            | 900  | +0.4                                     | 1.78                               |
| Semi-Zircon brick<br>for trough nozzle                            | 35                     | 3.20            | 19.0            | 700  | +0.2                                     | 1.92                               |
| 10% $ZrO_2$ added fire-clay brick for the bottom lining of trough | 26                     | 2.05            | 18.5            | 350  | +0.2                                     | 1.27                               |

Table 3. Chemical composition of test refractories (%).

|  | SiO <sub>2</sub> | Al <sub>2</sub> O <sub>3</sub> | Fe <sub>2</sub> O <sub>3</sub> | MnO  | CaO  | MgO  | ZrO <sub>2</sub> | SiC  | C    |
|--|------------------|--------------------------------|--------------------------------|------|------|------|------------------|------|------|
| Semi-Zircon brick<br>for ladle and trough                | 49.62            | 8.69                           | 0.55                           | tr.  | 0.15 | 0.25 | 40.54            |      |      |
| Semi-Zircon brick<br>for trough nozzle                   | 29.85            | 24.02                          | 0.92                           | tr.  | 0.10 | 0.03 | 45.03            |      |      |
| 10% $ZrO_2$ added brick<br>for trough                    | 66.39            | 23.57                          | 2.11                           | tr.  | tr.  | tr.  | 9.45             |      |      |
| 10% $ZrO_2$ added trough<br>ramming materials            | 75.49            | 7.27                           | 0.85                           | tr.  | tr.  | 1.01 | 9.40             | 3.66 | 0.70 |
| 10% $ZrO_2$ added castable<br>refractories for mould top | 43.09            | 41.72                          | 2.10                           | 0.05 | 3.78 | 0.25 | 9.40             |      |      |

Note : Chemical composition of semi-zircon mortar is same as it of semi-zircon trough brick.

### 3. 実験結果

#### 3.1 供試耐火物の確性実験

##### (1) 热衝撃試験

供試耐火物について、急熱急冷のくり返し10回までのクラックの発生状況を比較した結果、セミジルコン質煉瓦は常用の $\text{Al}_2\text{O}_3\text{-SiO}_2$ 系煉瓦よりもやや良好であるが、10% $\text{ZrO}_2$ 添加耐火物はほとんど同程度であることが認められた。

##### (2) 浸食試験

Table 4にスラグおよび純鉄によるつぼ浸食試験および高周波誘導溶解炉による溶鋼浸漬試験の結果を示した。

セミジルコン質煉瓦は、常用の $\text{Al}_2\text{O}_3\text{-SiO}_2$ 系煉瓦に比しスラグおよび溶鋼に対する耐浸食性が大きいが、10% $\text{ZrO}_2$ 添加煉瓦は、常用品とほぼ同程度の耐浸食性を示している。

##### (3) 不定形耐火物の焼結性状

Table 5および6に、不定形耐火物の各温度焼成物について、圧縮強さおよび焼成膨張収縮率を常用品と比較した結果を示した。

トラフラミング材については大きな差異は見られないが、押湯用不定形耐火物（キャスタブル耐火物）の場合には、ジルコンサンドの添加により焼結性がよくなる傾向が認められる。しかしこの程度の差異は、溶鋼中に耐火物の混入する傾向に対してほとんど影響がないと考えられる。

#### 3.2 使用後耐火物の性状調査

溶鋼およびスラグとの接触時間および温度の差異により、耐火物のスラグ化層および変質層の生成傾向、ならびにその性状に差異が認められ、これらの熱的影響の比較的小さいトラフノズル煉瓦の場合には、0.2~0.3 mmのきわめて薄い、灰かつ色を呈する多孔質の変質層が存在するのみでとくに顕著な層状組織は認められない。熱

Table 4. Result of corrosion test by molten slag and steel.

| Corrosion material                                 | Test brick  | Corrosion ratio on crucible test (%) |                      |                      |                     | Corrosion depth on immersion test (mm) |
|--|---|--------------------------------------|----------------------|----------------------|---------------------|--|
|  |   | 1450°C<br>×1 hr                      | 1500°C<br>×1 hr      | 1550°C<br>×1 hr      | 1600°C<br>×5 mm     |  |
| Refining slag<br>( $\text{CaO}/\text{SiO}_2=2.3$ ) | Semi Zircon<br>10% $\text{ZrO}_2$ added<br>Alumino-silicate | 27.4<br>31.3<br>35.7                 | 29.5<br>50.5<br>55.5 | 35.5<br>55.0<br>50.5 |                     |  |
| Ladle slag.<br>( $\text{CaO}/\text{SiO}_2=1.8$ )   | Semi Zircon<br>10% $\text{ZrO}_2$ added<br>Alumino-silicate | 19.7<br>39.0<br>42.2                 | 22.4<br>47.8<br>50.6 | 49.1<br>64.0<br>68.1 |                     |  |
| Molten steel<br>(Pure Iron)                        | Semi Zircon<br>10% $\text{ZrO}_2$ added<br>Alumino-silicate |                                      |                      |                      | 5.3<br>16.5<br>17.7 | 0.5~1.0<br>0.8~1.0<br>0.8~1.2          |

Table 5. Comparison on compression strength of fired specimens ( $\text{kg}/\text{cm}^2$ ).

| Firing temp. (°C) | Trough ramming materials |           | Castable refractories for mould top |           |
|-------------------|--------------------------|-----------|-------------------------------------|-----------|
|                   | Zircon added             | Not added | Zircon added                        | Not added |
| 1 000             | 12                       | 85        | 259                                 | 154       |
| 1 200             | 135                      | 184       | 190                                 | 166       |
| 1 400             | 281                      | 244       | 498                                 | 242       |
| 1 500             | 302                      | 272       | 753                                 | 480       |

Table 6. Comparison on firing shrinkage of fired specimens (%).

| Firing temp. (°C) | Trough ramming materials |           | Castable refractories for mould top |           |
|-------------------|--------------------------|-----------|-------------------------------------|-----------|
|                   | Zircon added             | Not added | Zircon added                        | Not added |
| 1 000             | 1.26                     | 1.33      | 0                                   | -0.06     |
| 1 200             | 0.92                     | 0.64      | -0.93                               | -0.12     |
| 1 400             | 5.32                     | 6.18      | -0.39                               | 0.34      |
| 1 500             | 5.22                     | 4.42      | -1.11                               | 0.15      |

的影響の大きいとりべ敷煉瓦には、1~3 mm の灰黒色を呈するガラス質のスラグ化層の内側に、約1 mm のやや多孔質の灰色変質層が認められる。トラフ敷煉瓦の場合もとりべ敷煉瓦の場合と類似しているが、スラグ化層はガラス化程度が低く、黒色を呈しており、変質層は灰白色を呈しやや多孔質である。また10% ZrO<sub>2</sub>を添加したトラフ敷煉瓦の場合には、黒かつ色または茶かつ色を呈する1~2 mm のスラグ化層におおわれており、変質層はほとんど認められず、ただちに原煉瓦層に移行している。これはZrO<sub>2</sub>の含有量が低く、大部分を占めるAl<sub>2</sub>O<sub>3</sub>-SiO<sub>2</sub>系耐火物の組織の影響によるものと考えられる。不焼成耐火物であるトラフラミング材の場合は、0.5 mm程度の黒かつ色を呈するスラグ層の内側に、黒色のマトリックス中に白色の粗粒子が散在する10 mmほどのスラグ化層が存在し、押湯用不定形耐火物の場合にはスラグ層は見られず、スラグの浸透した凹凸の著しい2 mm程度のスラグ化層が存在する。スラグ化層は黒色を呈しているが、その内側の層は、黄色、灰白色および淡紅色としだいに原耐火物層に移行している。トラフラミング材の場合には、トラフ敷煉瓦と同様な熱的影響を受けるのにもかかわらず、スラグ化層の厚さに前述のような差異を生じたのは耐火物組織の差異によるものと考えられる。また押湯用不定形耐火物の場合には、スラグとの接触がほとんどないためにスラグ層がなく、溶鋼成分による黒色のスラグ化層を生じたものと考えられる。溶鋼に接触するこれらの耐火物の表層部は、押湯用不定形耐火物を除けばほぼ平滑であり、安定な外観を呈している。これらの外観観察の結果、煉瓦の場合と不定形耐

火物の場合とで、溶鋼中に混入する耐火物の形態が異なり前者はマトリックス部の溶損、後者は主として離により、粗粒子とともにかなり大きな粒子として混入することが推定できる。

Table 7 および8に、使用後耐火物のスラグ化層の化学組成およびX線回折結果を示した。

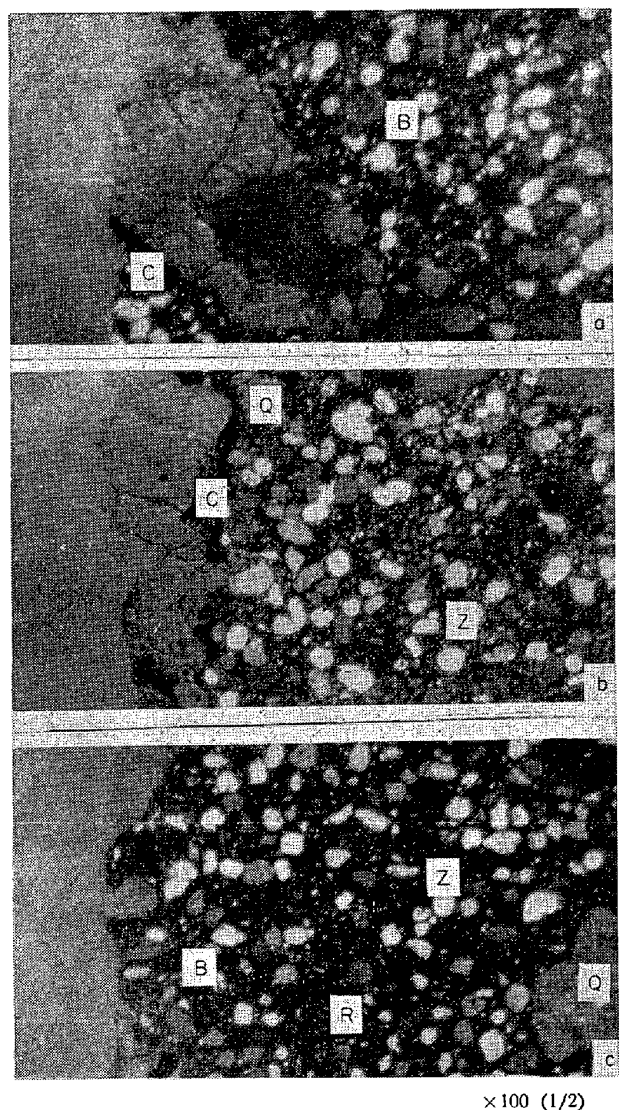
これらの顕微鏡的組織はPhoto. 1 および2に示すように、セミジルコン質煉瓦の場合には、スラグ中のCaOとの反応生成物であるCaO·ZrO<sub>2</sub>と見られる微細な結晶が表層部にわずかに存在する。これらはとりべ敷煉瓦にもつとも多く、ノズル煉瓦には少ない。また表層部には20 μ程度に成長したbaddeleyite (ZrO<sub>2</sub>)がマトリックスを充塞して存在し、ZrO<sub>2</sub>·SiO<sub>2</sub>の大結晶はへき開を生じているものは少なくほとんど変化していない。さらにquartzはへき開を生じておらず、10~20 μの微細なcristobaliteがその内部に多数析出している。10% ZrO<sub>2</sub>を添加したAl<sub>2</sub>O<sub>3</sub>-SiO<sub>2</sub>系耐火物において、トラフ敷煉瓦の場合には、表面から500 μ程度までのスラグ化層は少量のbaddeleyiteおよび煉瓦の粗粒子を含むメリライト相から成り、被熱面から遠ざかるにつれてbaddeleyiteは減少しZrO<sub>2</sub>·SiO<sub>2</sub>の大粒子が増加している。トラフラミング材の場合には表面から20~30 μまでのスラグ化層はメリライトの微晶の充塞した組織であり、その内側に50~100 μの丸味をおびたZrO<sub>2</sub>·SiO<sub>2</sub>および微細な角片状のcristobaliteが認められる。スラグ層内にはbaddeleyiteはほとんど見られず、わずかにZrO<sub>2</sub>·SiO<sub>2</sub>が散在している。ラミング材の粗粒子のあるものはスラグ層中に脱落しかかつているものも認められた。また表

Table 7. Chemical composition of the slagging layers of used refractories (%).

| Test brick                    |                   | SiO <sub>2</sub> | Al <sub>2</sub> O <sub>3</sub> | Fe <sub>2</sub> O <sub>3</sub> | MnO  | CaO   | MgO   | ZrO <sub>2</sub> |
|-------------------------------|-------------------|------------------|--------------------------------|--------------------------------|------|-------|-------|------------------|
| Semi<br>Zircon                | Trough brick      | 57.86            | 3.67                           | 3.28                           | 4.56 | 16.86 | 3.62  | 4.60             |
|                               | Ladle brick       | 43.84            | 9.54                           | 0.87                           | 2.09 | 22.00 | 3.25  | 19.69            |
|                               | Nozzle brick      | 35.70            | 15.66                          | 1.29                           | 3.16 | 13.69 | 1.57  | 30.05            |
| 10% ZrO <sub>2</sub><br>added | Trough brick      | 42.34            | 12.87                          | 1.28                           | 3.39 | 23.55 | 16.13 | tr.              |
|                               | Ramming materials | 59.96            | 13.88                          | 2.24                           | 9.85 | 10.09 | 2.82  | tr.              |

Table 8. X-ray diffraction analysis of the slagging layers of used refractories.

| Test brick                    |                   | ZrO <sub>2</sub> ·SiO <sub>2</sub> | ZrO <sub>2</sub> | CaO·ZrO <sub>2</sub> | CaO·MgO·2SiO <sub>2</sub> | 3CaO·2SiO <sub>2</sub> ·CaF <sub>2</sub> | 3Al <sub>2</sub> O <sub>3</sub> ·2SiO <sub>2</sub> | α-quartz | α-cristobalite | α-tridymite |
|-------------------------------|-------------------|------------------------------------|------------------|----------------------|---------------------------|--|--|----------|----------------|-------------|
| Semi<br>Zircon                | Trough brick      | +                                  | tr.              | tr.                  |                           |  |  | +        | tr.            |             |
|                               | Ladle brick       | +++                                | +                | tr.                  |                           |  |  | +        | tr.            |             |
|                               | Nozzle brick      | +++                                | ++               | tr.                  |                           |  |  | +        | tr.            |             |
| 10% ZrO <sub>2</sub><br>added | Trough brick      |                                    |                  | -                    | ++                        | ++                                       |  |          | +              | +           |
|                               | Ramming materials | +++                                | +++              |                      | ++                        | ++                                       | ++   |          | +              | +           |



C : CaO·ZrO<sub>2</sub> Z : Zircon Q : Quartz  
 B : Baddeleyite R : Cristobalite  
 a) Trough brick b) Ladle brick c) Nozzle brick  
 Photo. 1. Microscopic structure of used semi-zircon brick.

面から 40~200 μ の範囲に散在する quartz の粗粒子は著しくクラックを生じており、周辺に cristobalite の微晶を多数析出して転移の進んだ形跡を示している。押湯用不定形耐火物においては、スラグ層はほとんど見られず、耐火物の組織は著しくスラグ化しており、表面から 10~50 μ の部分には変形してのびた外観を呈する ZrO<sub>2</sub>·SiO<sub>2</sub>、および解離生成物である baddeleyite が無数に存在する。さらに表層部から 200 μ 以上の部分には丸味をおびた ZrO<sub>2</sub>·SiO<sub>2</sub> が存在し、その周辺には細片状のムライトが 100 μ 程度に成長して存在する。これらの調査の結果、セミジルコン質煉瓦の場合には、スラグ化した表層部に ZrO<sub>2</sub> 含有鉱物相の残留が認められるが、10% ZrO<sub>2</sub> を添加した煉瓦の場合には、表層部において ZrO<sub>2</sub>·SiO<sub>2</sub> は、シリケートマトリックスの溶損とともに溶出

するためにきわめて低くなつておらず、比較的内部のスラグ化層にはかなり多量に含まれていることが明らかになつた。またトラフランギング材の場合は、耐火物の表層部に接するスラグ化層に ZrO<sub>2</sub>·SiO<sub>2</sub> の混入が認められ、押湯用不定形耐火物のスラグ化層には ZrO<sub>2</sub>·SiO<sub>2</sub> および baddeleyite が存在することが明らかになつた。

### 3.3 酸化物系介在物の組成および顕微鏡的組織

#### 3.3.1 セミジルコン質耐火物を使用した場合

##### (1) トラフ敷煉瓦に使用した場合の介在物

Table 9 にトラフ敷煉瓦にセミジルコン質煉瓦を使用した場合の介在物の化学分析結果を示した。

酸化物系介在物中の ZrO<sub>2</sub> 含有量は介在物総量の 1~2% 程度であり、X線回折結果はスピネル、α-Al<sub>2</sub>O<sub>3</sub>、CaO-MgO-SiO<sub>2</sub>、CaO-Al<sub>2</sub>O<sub>3</sub>-SiO<sub>2</sub> 系の鉱物相のみであり、ZrO<sub>2</sub> 含有鉱物相は認められない。これらの介在物は Photo. 3 に示したような 200 μ にも達する大型のものは少なく、一般には 50 μ 以下の比較的小さいものであり、Table 10 に示したような ZrO<sub>2</sub> の含有量は低く、いずれも CaO-MgO-Al<sub>2</sub>O<sub>3</sub>-SiO<sub>2</sub> 系のものであり、明らかに CaO-Al<sub>2</sub>O<sub>3</sub>-SiO<sub>2</sub> 系マトリックス中にスピネルが析出した顕微鏡的組織を呈している。

##### (2) トラフ敷目地に使用した場合の介在物

Table 11 にトラフ敷煉瓦の目地にセミジルコン質モルタルを使用した場合における介在物の化学分析結果を示した。

トラフ敷煉瓦の場合に比し介在物中の ZrO<sub>2</sub> 含有量は低く、X線回折結果も前述と同様であることが認められた。またこれらの介在物は Photo. 4 (a) に示したように微細なものであり、Table 12 に示すように、前述の場合と同様に CaO-Al<sub>2</sub>O<sub>3</sub>-SiO<sub>2</sub> 系のマトリックスからスピネルが析出した顕微鏡的組織を呈している。

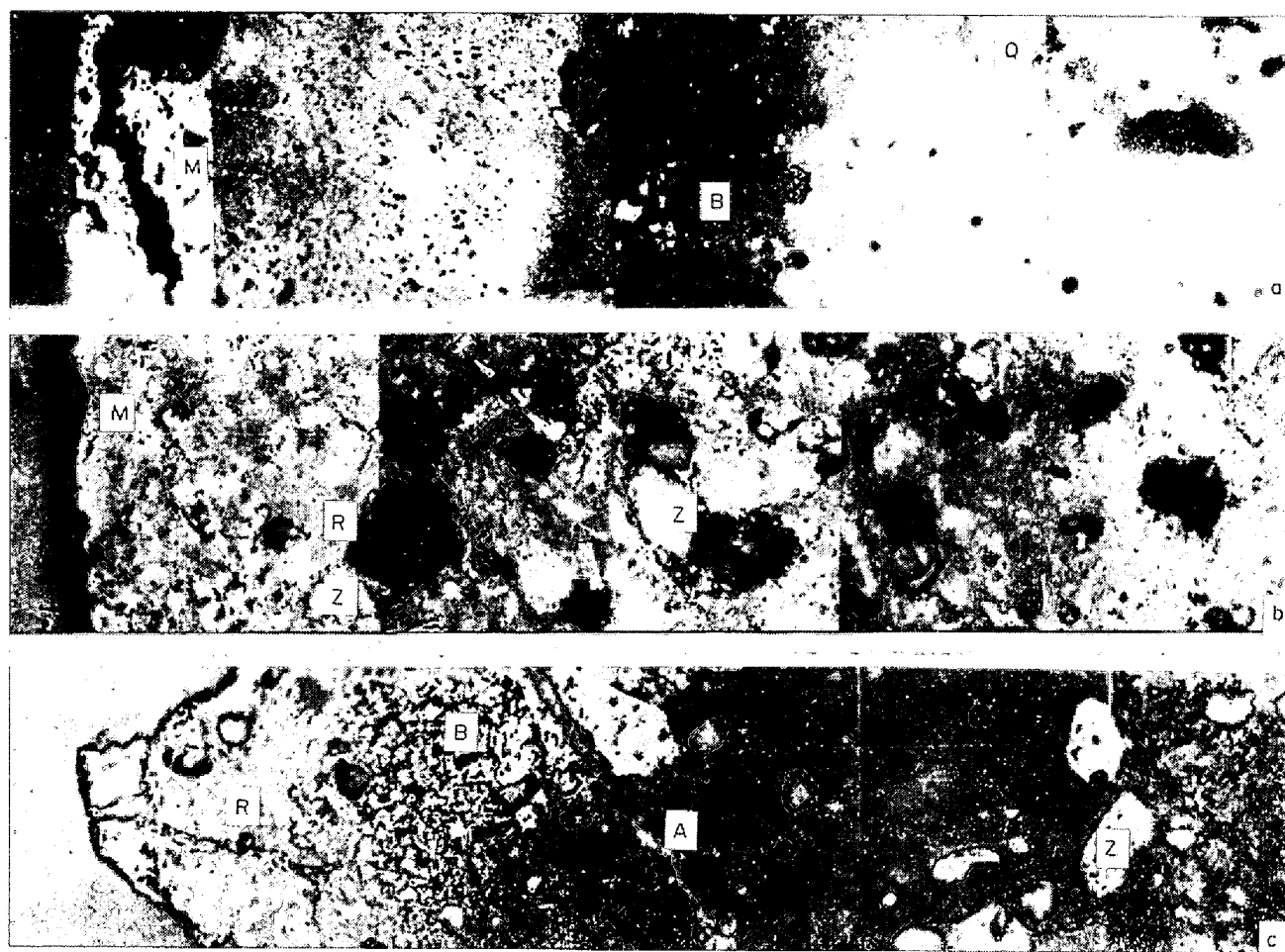
##### (3) とりべ敷煉瓦に使用した場合の介在物

Table 13 にとりべ敷煉瓦にセミジルコン質煉瓦を使用した場合における介在物の化学分析結果を示した。

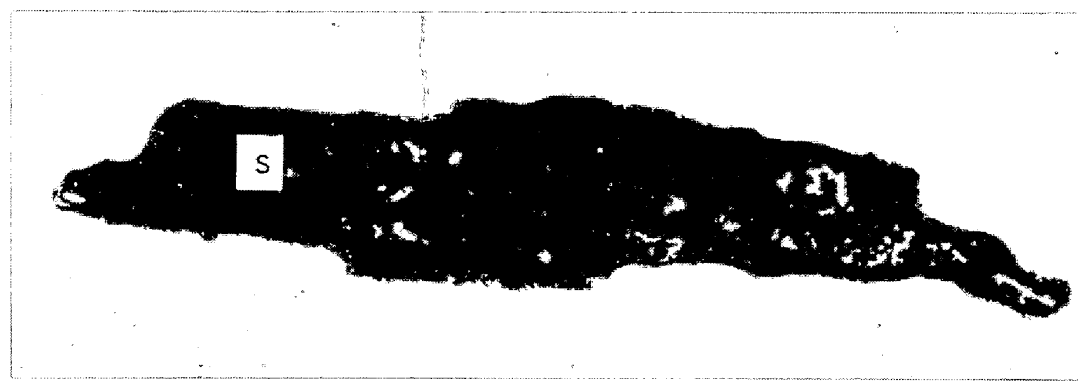
前述の場合と同様に、介在物中の ZrO<sub>2</sub> 含有量は低く、いずれも 100 μ 以下のものであるが、Table 14 に示すように、主体をなしているスピネルを析出させている CaO-Al<sub>2</sub>O<sub>3</sub>-SiO<sub>2</sub> 系マトリックス中に、4~5% の ZrO<sub>2</sub> を含有するもの (Photo. 4 (b)) も存在する。ZrO<sub>2</sub> の含有量が低いために、X線回折においてもその存在形態は明らかにすることはできなかつたが、顕微鏡観察、EPMA などの結果からシリケートマトリックス中にガラス質として存在するものと考えられる。

##### (4) トラフノズル煉瓦に使用した場合の介在物

Table 15 にトラフノズル煉瓦にセミジルコン質煉瓦



A :  $3\text{Al}_2\text{O}_3 \cdot 2\text{SiO}_2$     B : Baddeleyite    M : Melilite    Q : Quartz    R : Cristobalite    Z :  $\text{ZrO}_2 \cdot \text{SiO}_2$   
 a) Trough brick    b) Trough ramming materials    c) Castable refractories  
 Photo. 2. Microscopic structure of used 10%  $\text{ZrO}_2$  added refractories.



S : Spinel  
 Photo. 3. Microscopic structure of an oxide inclusion in case of using semi-zircon brick for the bottom lining of trough.

を使用した場合における介在物の化学分析結果を示した。

介在物中の  $\text{ZrO}_2$  含有量は前述の各場合に比しもつとも低い。X線回折結果によると、大部分の介在物は前述の場合と同様に、スピネル、 $\alpha\text{-Al}_2\text{O}_3$ 、 $\alpha\text{-quartz}$ 、 $\alpha\text{-}$

cristobalite などからなっているが、Photo. 4(c) に示したものは一般的鉱物組成の介在物 (Table 16(4)) に比し、(3)に示すように  $\text{CaO}$  の含有量が高く、X線回折結果によれば  $\text{CaO}\cdot\text{FeO}$ 、 $\text{CaO}\cdot2\text{FeO}$  などが認められており、 $\text{CaO}\cdot\text{FeO}$  系の微晶質マトリックス中に多数

Table 9. Chemical analysis of oxide inclusions in case of using semi-zircon brick for the bottom lining of trough ( $\times 10^{-4}\%$ ).

| Sample | Position | SiO <sub>2</sub> | Al <sub>2</sub> O <sub>3</sub> | CaO | MgO | ZrO <sub>2</sub> | Total |
|--------|----------|------------------|--------------------------------|-----|-----|------------------|-------|
| 1      | Top      | 29               | 37                             | 3   | 12  | 1·1              | 84    |
|        | Bottom   | 23               | 45                             | 4   | 16  | 1·1              | 91    |
| 2      | Top      | 47               | 43                             | 16  | 18  | 1·6              | 126   |
|        | Bottom   | 42               | 38                             | 11  | 15  | 1·2              | 109   |
| 3      | Top      | 45               | 40                             | 9   | 13  | 1·0              | 110   |
|        | Bottom   | 26               | 41                             | 8   | 17  | 1·1              | 95    |
| 4      | Top      | 34               | 46                             | 6   | 12  | 1·0              | 101   |
|        | Bottom   | 33               | 46                             | 7   | 15  | 1·1              | 105   |
| 5      | Top      | 21               | 32                             | 6   | 18  | 1·1              | 79    |
|        | Bottom   | 20               | 40                             | 7   | 20  | 1·1              | 89    |

Table 10. Analytical result of oxide inclusions by EPMA in case of using semi-zircon brick for the bottom lining of trough. (%) .

| Sample   | SiO <sub>2</sub> | Al <sub>2</sub> O <sub>3</sub> | FeO | MnO | CaO | MgO | ZrO <sub>2</sub> | TiO <sub>2</sub> |
|----------|------------------|--------------------------------|-----|-----|-----|-----|------------------|------------------|
| 2-Bottom | 24               | 41                             | 2·0 | 0·6 | 12  | 19  | 0·3              | 1·0              |
| 5-Bottom | 6·2              | 56                             | 1·5 | 0·6 | 3·2 | 31  | 0·2              | 0·3              |

Table 11. Chemical analysis of oxide inclusions in case of using semi-zircon mortar for the joints of bottom lining of trough ( $\times 10^{-4}\%$ ).

| Sample | Position | SiO <sub>2</sub> | Al <sub>2</sub> O <sub>3</sub> | CaO | MgO | ZrO <sub>2</sub> | Total |
|--------|----------|------------------|--------------------------------|-----|-----|------------------|-------|
| 1      | Top      | 11               | 69                             | 4   | 18  | 1·0              | 105   |
| 2      | "        | 14               | 50                             | 3   | 21  | 0·3              | 91    |
| 3      | "        | 13               | 48                             | 3   | 19  | 0·6              | 85    |
| 4      | "        | 18               | 62                             | 2   | 20  | 0·6              | 103   |
| 5      | "        | 16               | 53                             | 3   | 21  | 0·5              | 95    |

Table 12. Analytical result of oxide inclusions by EPMA in case of using semi-zircon mortar for the joints of bottom lining of trough (%) .

| Sample | SiO <sub>2</sub> | Al <sub>2</sub> O <sub>3</sub> | FeO | MnO | CaO | MgO | ZrO <sub>2</sub> | TiO <sub>2</sub> |
|--------|------------------|--------------------------------|-----|-----|-----|-----|------------------|------------------|
| 2      | 24               | 52                             | 1·1 | 0·3 | 6·4 | 20  | tr.              | 0·1              |
| 4      | 20               | 54                             | 1·5 | 0·3 | 3·0 | 20  | 0·1              | 0·1              |

Table 13. Chemical analysis of oxide inclusions in case of using semi-zircon brick for the bottom lining of ladle ( $\times 10^{-4}\%$ ).

| Sample | Position | SiO <sub>2</sub> | Al <sub>2</sub> O <sub>3</sub> | CaO | MgO | ZrO <sub>2</sub> | Total |
|--------|----------|------------------|--------------------------------|-----|-----|------------------|-------|
| 1      | Top      | 31               | 28                             | 12  | 22  | 0·8              | 95    |
| 2      | "        | 28               | 28                             | 10  | 21  | 0·7              | 90    |
| 3      | "        | 36               | 34                             | 5   | 20  | 1·0              | 97    |
| 4      | "        | 21               | 54                             | 4   | 28  | 1·0              | 109   |
| 5      | "        | 28               | 52                             | 2   | 26  | 1·1              | 111   |

Table 14. Analytical result of oxide inclusions by EPMA in case of using semi-zircon brick for the bottom lining of ladle (%).

| Sample | SiO <sub>2</sub> | Al <sub>2</sub> O <sub>3</sub> | FeO | MnO | CaO | MgO | ZrO <sub>2</sub> | TiO <sub>2</sub> |
|--------|------------------|--------------------------------|-----|-----|-----|-----|------------------|------------------|
| 1      | 15               | 41                             | 1·0 | 0·6 | 23  | 20  | tr.              | 0·1              |
| 3      | 22               | 33                             | 2·0 | 0·5 | 14  | 19  | 4·3              | 0·2              |

Table 15. Chemical analysis of oxide inclusions in case of using semi-zircon brick for the trough nozzle ( $\times 10^{-4}\%$ ).

| Sample | Position | SiO <sub>2</sub> | Al <sub>2</sub> O <sub>3</sub> | CaO | MgO | ZrO <sub>2</sub> | Total |
|--------|----------|------------------|--------------------------------|-----|-----|------------------|-------|
| 1      | Top      | 28               | 42                             | 2   | 19  | 1·0              | 94    |
| 2      | "        | 31               | 40                             | 2   | 19  | 0·3              | 93    |
| 3      | "        | 15               | 26                             | 1   | 16  | 0·2              | 60    |
| 4      | "        | 14               | 27                             | tr. | 17  | 0·1              | 58    |
| 5      | "        | 31               | 27                             | 2   | 16  | 0·1              | 78    |

Table 16. Analytical result of oxide inclusions by EPMA in case of using semi-zircon brick for the trough nozzle (%).

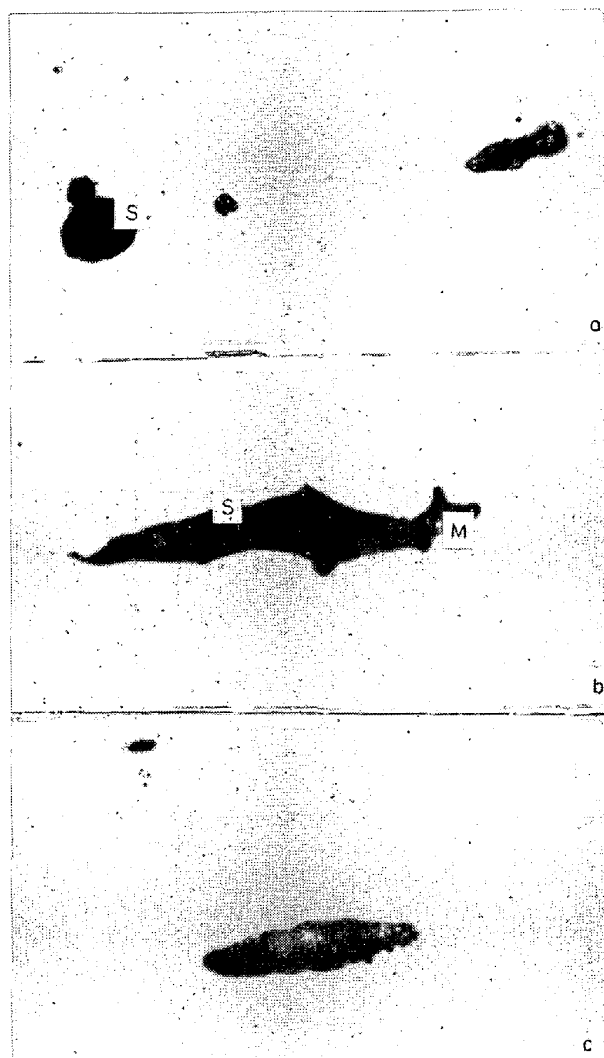
| Sample | SiO <sub>2</sub> | Al <sub>2</sub> O <sub>3</sub> | FeO | MnO | CaO | MgO | ZrO <sub>2</sub> | TiO <sub>2</sub> |
|--------|------------------|--------------------------------|-----|-----|-----|-----|------------------|------------------|
| 3      | 28               | 37                             | 2·2 | 0·3 | 21  | 11  | 0·3              | 0·2              |
| 4      | 13               | 58                             | 1·2 | 0·4 | 5·2 | 22  | tr.              | 0·1              |

Table 17. Chemical analysis of oxide inclusions in case of using 10% ZrO<sub>2</sub> added refractories ( $\times 10^{-4}\%$ ).

| Sample | Position     | SiO <sub>2</sub> | Al <sub>2</sub> O <sub>3</sub> | CaO | MgO | ZrO <sub>2</sub> | Total | Reference                              |
|--------|--------------|------------------|--------------------------------|-----|-----|------------------|-------|--|
| 1      | Bottom       | 52               | 34                             | 1   | 16  | 1·4              | 107   | Effect of the bottom lining of trough  |
| 2      |              | 54               | 36                             | 2   | 18  | 1·2              | 113   |  |
| 3      |              | 56               | 37                             | 1   | 18  | 1·0              | 116   |  |
| 4      | " " Top      | 106              | 30                             | 2   | 14  | 0·1              | 154   | Effect of the trough ramming materials |
| 5      |              | 38               | 29                             | 4   | 11  | 0·1              | 84    |  |
| 6      |              | 25               | 16                             | 8   | 9   | <0·1             | 59    |  |
| 7      | Bottom " Top | 27               | 20                             | 1   | 6   | <0·1             | 55    | Effect of the castable refractories    |
| 8      |              | 27               | 24                             | 2   | 13  | <0·1             | 68    |  |
| 9      |              | 27               | 19                             | 8   | 10  | <0·1             | 66    |  |

Table 18. Analytical result of oxide inclusions by EPMA in case of using 10% ZrO<sub>2</sub> added refractories (%).

| Sample | Analyzed part  | SiO <sub>2</sub> | Al <sub>2</sub> O <sub>3</sub> | FeO        | MnO        | CaO       | MgO        | Cr <sub>2</sub> O <sub>3</sub> | ZrO <sub>2</sub> | TiO <sub>2</sub> |
|--------|----------------|------------------|--------------------------------|------------|------------|-----------|------------|--------------------------------|------------------|------------------|
| 1      | Crystal Matrix | 8·0<br>34        | 7·5<br>33                      | 0·5<br>tr. | 0·9<br>tr. | 76<br>30  | 5·5<br>2·0 | tr.<br>tr.                     | tr.<br>tr.       | tr.<br>tr.       |
| 2      | Crystal Matrix | 3·0<br>33        | 2·0<br>32                      | 0·5<br>tr. | tr.<br>tr. | 92<br>29  | 1·5<br>5·3 | tr.<br>tr.                     | tr.<br>tr.       | tr.<br>tr.       |
| 4      | Crystal Matrix | 1·0<br>45        | 60<br>17                       | 0·2<br>0·1 | tr.<br>tr. | 4·0<br>22 | 35<br>16   | tr.<br>tr.                     | tr.<br>tr.       | tr.<br>tr.       |
| 6      | Average        | 35               | 21                             | 0·1        | tr.        | 35        | 9          | tr.                            | tr.              | tr.              |
| 8      | Crystal Matrix | 1·0<br>37        | 66<br>40                       | 0·1<br>0·1 | tr.<br>tr. | 1·0<br>21 | 32<br>2·0  | tr.<br>tr.                     | tr.<br>tr.       | tr.<br>tr.       |



S : Spinel, M : MnS (Mn43, Ca16, Fe6, S35)

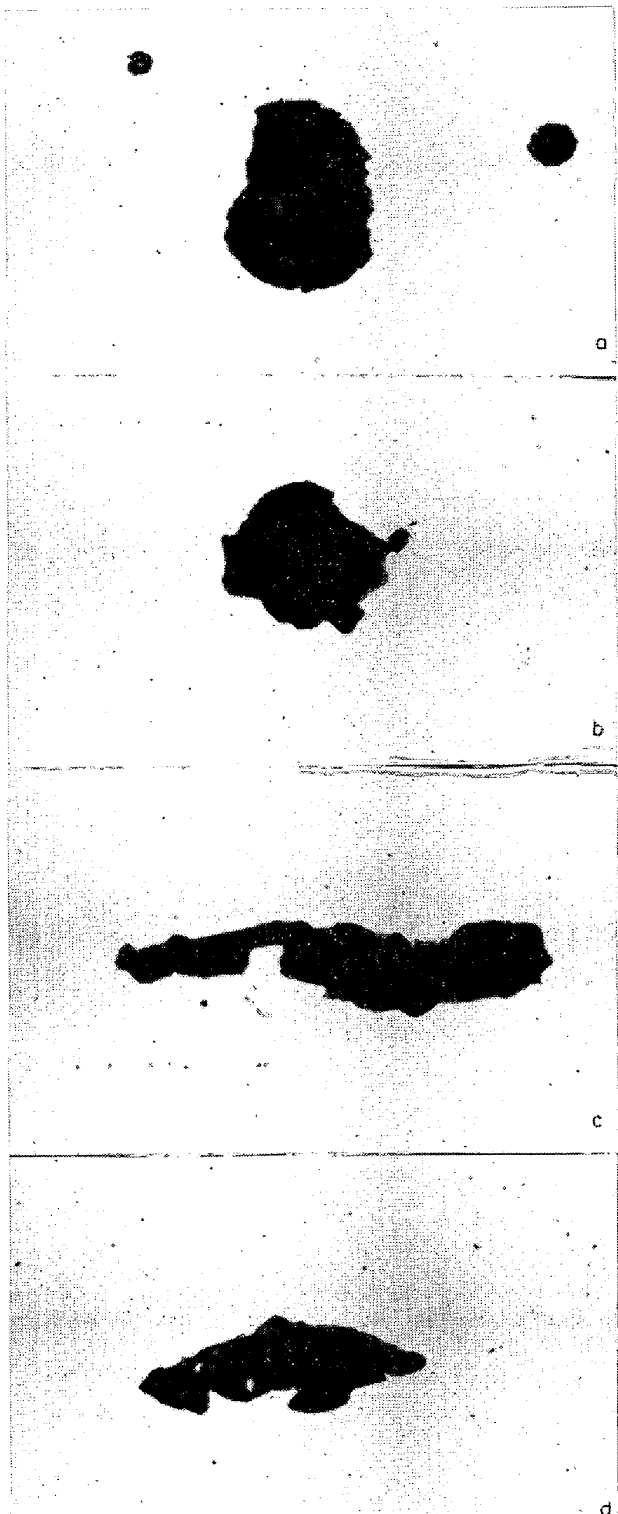
Photo. 4. Microscopic structure of oxide inclusions in case of using semi-zircon refractories.

のスピネルを析出したものと思われる。

### 3.3.2 10% ZrO<sub>2</sub> を添加した Al<sub>2</sub>O<sub>3</sub>-SiO<sub>2</sub> 系耐火物を使用した場合

Table 17 に、10% ZrO<sub>2</sub> を添加した Al<sub>2</sub>O<sub>3</sub>-SiO<sub>2</sub> 系耐火物をトラフ敷煉瓦、トラフラミング材および押湯部の不定形耐火物として使用した各場合における酸化物系介在物の化学分析結果を示した。

トラフ敷煉瓦に使用した場合には、ZrO<sub>2</sub> 含有量は介在物総量の 1~2% に相当するが、トラフラミング材および押湯部の不定形耐火物に使用した場合には、ZrO<sub>2</sub> の含有量はきわめて低い。これらの介在物の顕微鏡的組織は、Photo. 5 に示したように、微晶質マトリックスの中に異相の角片あるいは細片状を呈する 10 μ 程度の灰色を呈する微結晶を析出させているものであり、50~200 μ 程度のものが多い。これらは Table 18 に示した



a) Sample 2 b) Sample 4 c) Sample 6 d) Sample 8  
Photo. 5. Microscopic structure of oxide inclusions in case of using 10% ZrO<sub>2</sub> added refractories.

EPMA による分析結果およびX線回折結果から、Photo. 5 (a) (Sample 2 の場合) を除き、前述の場合と同様に CaO-Al<sub>2</sub>O<sub>3</sub>-SiO<sub>2</sub> 系のマトリックスからスピネルの析出

Table 19. Measuring results of cleanliness.

| Used refractories                                  | Sample | Refractories used position          | Number of inclusion |            | Cleanness $d_{60 \times 400}$ (%) |       |       |
|--|--------|-------------------------------------|---------------------|------------|-----------------------------------|-------|-------|
|  |        |                                     | 40~100 $\mu$        | >100 $\mu$ | Sulfide                           | Oxide | Sum.  |
| Semi zircon refractories                           | 1      | Bottom lining of trough             | 1                   | 0          | 0·005                             | 0·063 | 0·068 |
|  | 2      | Bottom lining of trough (mortar)    | 0                   | 0          | 0·009                             | 0·061 | 0·070 |
|  | 3      | Bottom lining of ladle              | 1                   | 1          | 0·008                             | 0·073 | 0·081 |
|  | 4      | Trough nozzle                       | 1                   | 0          | 0·008                             | 0·063 | 0·071 |
| 10% $ZrO_2$ added $Al_2O_3$ - $SiO_2$ refractories | 1      | Bottom lining of trough             | 1                   | 1          | 0·008                             | 0·070 | 0·078 |
|  | 2      | Trough ramming materials            | 0                   | 0          | 0·007                             | 0·059 | 0·066 |
|  | 3      | Castable refractories for mould top | 1                   | 0          | 0·008                             | 0·054 | 0·062 |
| Ordinary refractories                              | 1      |                                     | 1                   | 2          | 0·008                             | 0·080 | 0·088 |
|  | 2      |                                     | 2                   | 1          | 0·007                             | 0·072 | 0·079 |

したものであり、Photo. 5 (a) の場合は  $CaO-Al_2O_3-SiO_2$  系マトリックスの中に、細片状のゲーレナイト ( $2CaO-Al_2O_3-SiO_2$ ) および角片状のライム結晶の析出したものであることが明らかになった。

### 3・4 酸化物系介在物の大きさと清浄度

Table 19 に鋼試験片表面に現われた介在物について  $40 \mu$  以上のものの個数および清浄度を測定した結果を、一般的材質の耐火物を使用した場合のそれらと比較し示した。

これらの介在物はいずれも  $100 \mu$  以上のものはきわめて少なく微細なものから成つており、一般的材質の耐火物を使用した場合に比し、 $40 \mu$  以上の比較的大きな介在物の個数も少なくなつており清浄度もいくらか向上した結果を示すことが認められた。

## 4. 考察

### 4・1 造塊用耐火物起源酸化物系介在物の生成経路に関する考察

前述のように、トレーサとしてセミシリコン質耐火物を使用した場合においては、熱衝撃抵抗性、スラグおよび溶鋼による浸食に対する抵抗性などが、常用の  $Al_2O_3-SiO_2$  系耐火物に比しそうれているために、介在物中の混入量のもつとも大きいトロフ敷煉瓦の場合においても、 $ZrO_2$  含有量は介在物総量の 1~2% を占めるにすぎないことが明らかになった。これらの  $ZrO_2$  は、使用

後の耐火物変質層および介在物の顕微鏡的組織の調査結果、介在物の EPMA 分析の結果などから、これらの耐火物が熱的、機械的衝撃による剝落などにより、ジルコニア粒子として混入したものではなく、スラグと  $ZrO_2$  との反応生成物である  $CaO-ZrO_2$  などとしてスラグ化耐火物層に存在していたものが、比較的溶損に弱い耐火物のシリケートマトリックスの溶滅とともに、洗われて溶鋼中に混入したものと考えられる。したがつて溶鋼中において、ガラス化した  $CaO-MgO-Al_2O_3-ZrO_2-SiO_2$  系のスラグ化耐火物微粒子の形で介在物として捕捉されることから、介在物中の  $ZrO_2$  の含有量と耐火物の化学組成とから耐火物としての混入量を算出してみると Table 20 のようになる。

造塊過程の末端に近く、溶鋼温度も出鋼時に比しかなり低下している位置にあるトロフ敷煉瓦の混入量がもつとも大きく、次いで溶鋼との接触面積、時間が大きく、スラグとの接触の影響のあるとりべ敷煉瓦の混入量が大

Table 20. Entrapped refractories in oxide inclusions (%).

| Refractories  | Entrapped refractories into oxide inclusions (%) |
|---------------|--|
| Trough bottom | 2·5~5·0  |
| Trough mortar | 0·8~2·5  |
| Ladle bottom  | 2·0~2·5  |
| Trough nozzle | 0·4~2·5  |

きい。トラフ敷目地用モルタルは、溶鋼との接触時間、温度などの条件はトラフ敷煉瓦の場合と同様であるが、接触面積が著しく小さいために介在物中の混入量は小さい。しかし溶鋼との接触面積についてのトラフ敷煉瓦との比からすると、トラフ敷煉瓦よりも介在物として捕捉される傾向は大きいと見ることができる。これらの傾向は、アルミキルド鋼厚板成品および鋼塊について同様の実験を行なつた大庭ら<sup>9)</sup>の結果と一致しており、受鋼時における熱的、機械的衝撃による剝落をも加わり、モルタルの損傷が比較的大きいことに起因するものと考えられる。またトラフノズル煉瓦は、造塊過程の末端部にあたり、溶鋼との接触面積は小さいが、鋳込時における機械的溶損により溶鋼中に混入することが報告されている<sup>8)10)</sup>が、セミジルコン質煉瓦は耐熱性が大きく、使用後の孔径拡大もほとんど見られなかつたことから、溶鋼中への混入傾向が小さく、したがつて介在物として捕捉される量もきわめて小さい結果を示している。

さらに 10% ZrO<sub>2</sub> 添加 Al<sub>2</sub>O<sub>3</sub>-SiO<sub>2</sub> 系耐火物を使用した場合には、これらの耐火物の熱衝撃抵抗、浸食抵抗、焼結性状などの物性値が、常用の Al<sub>2</sub>O<sub>3</sub>-SiO<sub>2</sub> 系耐火物とほとんど差がないために、耐火物中の ZrO<sub>2</sub> 含有量は前述のセミジルコン質耐火物の 1/4 であるにもかかわらず、トラフ敷煉瓦の場合には介在物総量の 1% 程度の ZrO<sub>2</sub> が認められた。これらの ZrO<sub>2</sub> は、セミジルコン質耐火物の場合と同様に、多成分系シリケートとして存在することから、介在物中の ZrO<sub>2</sub> 含有量から耐火物としての混入量を算出みるとほぼ 10% となる。これに対してトラフラミング材および押湯用不定形耐火物を使用した場合には、介在物中の ZrO<sub>2</sub> 含有量は著しく低く、耐火物としての混入量は 1% 以下である。これらの差異については、耐火物の損傷機構の相違によるものと考えられる。すなわち、トラフ敷煉瓦のような焼成耐火物の場合には、前述のように主として溶損によって損傷し、比較的微細な粒子として溶鋼中に混入するのに対し、トラフラミング材の場合には、スラグ層に baddel-eyite はほとんど存在せず、ZrO<sub>2</sub>-SiO<sub>2</sub> がわずかに認められる程度であり、スラグ化層にも未転移の ZrO<sub>2</sub>-SiO<sub>2</sub> が存在することから、熱的影響の小さいうちに剝落していることが推定できる。また押湯用不定形耐火物の場合には、スラグ層ではなく、ただちに溶鋼と耐火物の反応生成物からなる変質層となつており、トラフラミング材よりは熱的影響を受けているが、熱的、機械的衝撃により同様に剝落することが考察できる。したがつてこれらは比較的粗大な粒子として溶鋼中に混入するために、早期に浮上分離するものと考えられる。さらに 10% ZrO<sub>2</sub> 添

加の Al<sub>2</sub>O<sub>3</sub>-SiO<sub>2</sub> 系耐火物を使用したときに、介在物総量の 1% 程度の ZrO<sub>2</sub> を含有することは、耐火物としての混入量はほぼ 10% となるが、セミジルコン質耐火物の場合には、耐浸食性が大きく、溶損量としては 1/3~1/4 程度と見ることができることから、耐火物としての混入量は 2~4% となる。一方セミジルコン質耐火物を使用した場合に、介在物中に 1~2% の ZrO<sub>2</sub> を含むことは前述のように耐火物としての混入量 2~5% に相当することになり、前述の結果とほぼ一致する。このことは、これらの耐火物が介在物として捕捉される傾向がほぼ同等であることを示すものである。したがつてこの種の耐火物については、浸食抵抗、熱衝撃抵抗などのすぐれた耐火物を使用することにより、造塊用耐火物起源介在物を低減できることが考察できる。また前述のように、トラフラミング材、押湯用不定形耐火物などの不焼成耐火物を使用した場合に、介在物中の耐火物粒子の混入量がきわめて少ないことが認められたが、これらの傾向は使用前における耐火物の性状と関連があり、耐火物の組織が不安定の場合には、耐火物粒子が微粉末状で溶鋼中に混入し巨大介在物の源泉になることも考えられる。さらにセミジルコン質耐火物を使用した場合の介在物は、いずれも SiO<sub>2</sub> 含有量に比し Al<sub>2</sub>O<sub>3</sub> の含有量が高く、耐火物の組成と著しく異なる。供試鋼塊の精錬、造塊過程においては Al 添加を行なつておらず、したがつてこの Al<sub>2</sub>O<sub>3</sub> の源泉については、既報<sup>11)</sup>に述べたように、出鋼前において電弧炉内に投入する ferro-Si 中の Al、またはアルミナ系介在物が主体を成していると考えられる。Al<sub>2</sub>O<sub>3</sub> の源泉としては、このほかに造塊用耐火物がスラグおよび溶鋼によって分解することが考えられるが、本研究の結果、造塊用耐火物の分解によつて混入する量は比較的小さいことが推定できる。すなわち既報<sup>11)</sup>に述べたように、一般的ロウ石質、高珪酸質煉瓦などから成る造塊用耐火物を使用した場合には、溶鋼およびスラグによる溶損により SiO<sub>2</sub>、Al<sub>2</sub>O<sub>3</sub> などが溶鋼中に混入し、前述の 10% ZrO<sub>2</sub> 添加 Al<sub>2</sub>O<sub>3</sub>-SiO<sub>2</sub> 系煉瓦使用の場合に見られたとほぼ同様に、介在物中に耐火物に起因する SiO<sub>2</sub> をやや多く含有するに至る。これに対して本研究の場合のように、局部的ではあるが、問題となる個所に、耐損傷性のすぐれたセミジルコン質耐火物を使用することにより介在物中に含まれる SiO<sub>2</sub> が低減することが認められた。Al<sub>2</sub>O<sub>3</sub> については、本研究の場合のように、煉瓦の構成成分として前述の一般的材質の耐火物に比し Al<sub>2</sub>O<sub>3</sub> 含有量の低い耐火物を使用しても、介在物中の Al<sub>2</sub>O<sub>3</sub> 含有量に対する影響は認められない。これについては前述のように、Al<sub>2</sub>O<sub>3</sub> の主要な源泉が電

弧炉内に投入される ferro-Si 中の Al およびアルミニート系介在物にあるためであり、したがつてセミジルコン質耐火物を使用しても介在物としての  $\text{Al}_2\text{O}_3$  の低減にはほとんど効果がないことが考察できる。

またこれらの  $\text{ZrO}_2$  含有耐火物を使用した場合における介在物の量および大きさに対する影響は比較的小さいが、一般的材質の耐火物を使用した場合に比し、 $40\ \mu$  以上の比較的大型の介在物がやや低減し、清浄度もわずかながら向上することが認められた。これについては局部的ではあるが、耐損傷性のすぐれたこれらの耐火物を使用することにより、耐火物起因介在物が低減することを示すものであり、これらの耐火物の有効使用により酸化物系介在物がさらに低減できるものと考えられる。なおトレーサとしての  $\text{ZrO}_2$  は微細な介在物の中にスピネルなどのマトリックスとして存在し、耐火物の剝落片などから成る比較的大型の介在物としては存在しないことが認められた。

#### 4.2 トレーサとしてのジルコンの評価

造塊用耐火物起源介在物の生成経路の追跡に関する従来の研究においては、放射性トレーサを使用した報告が数多く見られるが、本研究の場合と同様なトラフを使用する上注造塊の場合について、定量的に検討した報告はほとんど見られない。詳細な造塊法は不明であるが、アルミキルド鋼について、放射性ジルコンを使用して調査した大庭ら<sup>10</sup>の報告によると、造塊用煉瓦起源の介在物が 0.2% であるのに対し、モルタルに起因するものが 0.53% あり、モルタルの影響が大きいことを指摘している。また 184 kg 上注鋼塊の場合について、 $^{96}\text{Zr-Nb}$  トレーサを使用してノズル煉瓦起源介在物を追跡した田尻ら<sup>11</sup>の報告によると、ノズル煉瓦の混入量は 0.5~1% であると述べている。とりべ煉瓦の影響については、斎藤ら<sup>12</sup>が 90 kg 鋼塊について  $^{95}\text{ZrO}_2$  を使用して調査した報告があり、介在物総量の 5.88% を占めていたと述べており、ノズル、トップ、モルタルなどに起因するものは 2.86% であつたと報告している。これらの放射性トレーサ法は、介在物の生成経路を追跡する手段としてきわめて有利な方法であるが、トレーサの取り扱いの問題は別として、トレーサを耐火物素地に浸透させ焼成する際の操作をあやまると、トレーサを均一に耐火物組織内に分布させることができなくなるなどの問題がある。非放射性トレーサを上注鋼塊に使用した研究としては、5% ジルコンを添加したノズル煉瓦をアルミキルド鋼の造塊に使用した大庭らの報告<sup>8</sup>があり、介在物の 0.3~1.3% がノズル煉瓦に起因していたことを述べている。また D. C. McCARTER ら<sup>3</sup>は、Ba, Zr 化合物を添加し

たとりべ煉瓦を使用して実験を行ない、とりべ煉瓦起源のものが 14% であつたと報告している。非放射性トレーサとしては、これらのはかに CARNEY<sup>4</sup> らの使用した  $\text{TiO}_2$ , FEDOCK<sup>6</sup> の使用したコバルトの酸化物などが報告されているが、前者は常用の  $\text{Al}_2\text{O}_3-\text{SiO}_2$  系耐火物中に 1~2% 含まれる場合があり、後者は溶鋼中で還元される可能性があるためにいずれも適当とは考えられない。FEDOCK の報告においては、ノズル近傍のトラフ敷煉瓦の剝離摩耗が介在物となることを指摘している。これらの文献の結果を総合的に見ると、本研究で得られた結果とほぼ一致しており、とくに介在物の有力な源泉と考えられるとりべおよびトラフ煉瓦の影響については、トレーサ物質以外の耐火物原料配合の相違があるのにもかかわらず、ほぼ一致した混入量を示すことが認められた。したがつて非放射性ジルコンを使用する方法は、トレーサの添加法も容易で、取り扱い上も問題なく、放射性トレーサを使用する方法とともに有効に使用できるものと考えられる。

## 6. 結 言

造塊用耐火物起源介在物の生成経路を解明するために従来上注造塊用耐火物として常用してきた  $\text{Al}_2\text{O}_3-\text{SiO}_2$  系耐火物に、一定量のジルコンサンドを添加して製造した耐火物を、高炭素クロム鋼の造塊において、トラフおよびとりべの敷、トラフノズル、押湯部などに使用し、鋼塊中に酸化物系介在物として含まれている  $\text{ZrO}_2$  を定量することにより、造塊用耐火物起源介在物の挙動について調査した。得られた結果をつきに述べる。

(1) 上注造塊に使用する主たる耐火物のうちで、介在物中の混入量のもつとも大きいのはトラフ敷煉瓦で介在物総量のほぼ 10% であり、次いでとりべ敷煉瓦の影響が大きいことを認めた。なおトラフモルタル、トラフノズルの混入量は比較的小さいが、トラフモルタルは溶鋼との接触面積の割合からすると介在物となる傾向が大きいことを明らかにした。

(2) トラフラミング材および押湯部の不定形耐火物の混入量はきわめて小さいことを認めた。

(3) 溶鋼およびスラグによる損傷に対する抵抗性の大きいセミジルコン質耐火物を使用した場合には、常用の  $\text{Al}_2\text{O}_3-\text{SiO}_2$  系耐火物を使用した場合に比し、介在物中の耐火物の混入量が小さくなることが考察できた。

(4) 造塊用耐火物起源介在物の生成経路を追跡する手段として、非放射性ジルコントレーサ法は従来の R I トレーサ法とともに有効な方法であることを認めた。

終わりに臨み、本論文の発表を許可された(株)日立製

作所勝田工場長竹入信氏に敬意を表するとともに、実験に協力された日立研究所第5部秋山氏、同勝田分室棚辺久雄、勝田工場溶鋼課雨谷光伸、検査部(分析)渡辺明の諸氏に感謝の意を表する。

### 文 献

- 1) 永山: 鉄と鋼, 56 (1970) 2, p. 194
- 2) 久保, 孝橋, ほか: 鉄と鋼, 50 (1964) 11, p. 1801 (講演論文)
- 3) D. C. McCARTER, S. RAMCHANDRAN, and J. C. FULTON: Elect.Furn. Proc., 18 (1966), p. 24
- 4) D. J. CARNEY and E. C. RUDOLPHY: J. Metals, 6 (1954)
- 5) 和野, 桑島: 鉄と鋼, 50 (1964) 11, p. 1845 (講演論文)
- 6) M. P. FEDOCK: J. Metals, 6 (1954), p. 125
- 7) 松岡, 島田, ほか: 鉄と鋼, 54 (1968) 3, p. 61 (講演論文)
- 8) 大庭, 平櫛: 鉄と鋼: 47 (1961) 10, p. 1400
- 9) 大庭, 平櫛: 鉄と鋼, 48 (1962) 4, p. 460
- 10) 田尻, 島田, 森: 鉄と鋼, 47 (1961) 3, p. 515
- 11) 永山: 鉄と鋼, 57 (1971) 6, p. 903
- 12) 齊藤, 島貫, 錦織, ほか: 鉄と鋼, 44 (1958), p. 1266